

# مطالعه تجربی اثر تغییر دماهای جریان آزاد و حسگر دستگاه بادسنجد سیم DAG بر کالیبراسیون حسگرها و اندازه‌گیری سرعت

رضا تقیوی زنوز<sup>۱</sup>دانشکده مهندسی مکانیک  
دانشگاه علم و صنعت ایرانمحمد علی اردکانی<sup>۲</sup>گروه مهندسی مکانیک  
سازمان پژوهش‌های علمی و صنعتی ایران محمود سالاری<sup>۱</sup>دانشکده علوم و فنون دریایی  
دانشگاه امام حسین(ع)**چکیده**

در این مقاله، تأثیر دو پارامتر مهم در اندازه‌گیری سرعت با دستگاه بادسنجد سیم DAG (HWA)؛ یکی اثر تغییر دمای هوای جریان آزاد (دمای تونل باد) و دیگری اثر تغییر دما یا نسبت فراگرمایی حسگر بر منحنی مشخصه و کالیبراسیون حسگرهای سیم DAG و فیلم DAG مورد مطالعه تجربی قرار گرفته است. نتایج نشان می‌دهد که با افزایش دمای تونل، ولتاژ بالای پل مدار و تستون در دستگاه HWA کاهش می‌یابد و نرخ کاهش آن به فیزیک حسگرها، سرعت سیال و نسبت فراگرمایی آزمایش بستگی دارد که معمولاً در عمل برای تصحیح این اثر از ضرایب تصحیح دما استفاده می‌شود. همچنین نتایج بررسی اثر تغییر دمای حسگر نشان می‌دهد که منحنی‌های کالیبراسیون به دست آمده برای هر حسگر در نسبت‌های فراگرمایی متفاوت را می‌توان با اعمال ضرایب تصحیح مناسبی بر هم منطبق کرد، به طوری که با داشتن منحنی کالیبراسیون یک حسگر در دو نسبت فراگرمایی متفاوت بتوان منحنی کالیبراسیون آن حسگر را برای هر نسبت فراگرمایی دلخواه دیگر بدون نیاز به آزمایش مجدد به دست آورد.

**واژه‌های کلیدی:** دستگاه بادسنجد سیم DAG، حسگر فیلم DAG، نسبت فراگرمایی، اندازه‌گیری سرعت سیال، اثر دما.

## Experimental Studies on Temperature Effects of Freestream and Hot Wire Sensors on the Calibration Curves and Velocity Measurements

**M. Salari**Naval Science and Tech. Department,  
Imam Hossein Univ.    Iran's Scientific and Technical Research Org.**M.A. Ardekani**Mech. Eng. Group,  
Iran Univ. of Science and Tech..**R. Taghavi Zenouz**Mech. Eng. Department,  
Iran Univ. of Science and Tech..**ABSTRACT**

In this paper, the effects of two important parameters on characteristic curves and the calibration of hot films and hot wires are studied experimentally. One of them is the freestream temperature and the other is the probe temperature or probe overheat ratio. The results show that increasing the wind tunnel (freestream) temperature decreases the voltage of the Wetston's bridge in the Constant Temperature Anemometry (CTA) circuit. It must be noted that, the decreasing rate depends on the physical properties of sensors, the flow velocity, and the overheat ratio. Temperature correction factors can be used for modification of these errors. Also, consideration of probe temperature shows that the calibration curves of a probe, in different overheat ratios, can be matched using a suitable correction factor, i.e. if the calibration curves of a probe were available only for two different overheat ratios, the other calibration curves for any arbitrary one can be obtained.

**Key Words:** Hot Wire Anemometry, Hot Film, Velocity Measurement, Temperature Effects

۱- مریم: m\_salari@iust.ac.ir

۲- استادیار

۳- استادیار

www.SID.ir

فهرست علائم	
$\eta$	ثابت کالیبراسیون و توان رابطه ضریب تصحیح
$T_f$	دما فیلم
$T_w$	دما حسگر
$T_a$	دما جریان سیال
$T_r$	دما مرجع
$\alpha_{20}$	ضریب دمایی مقاومت حسگر در دما $20^{\circ}\text{C}$
$\alpha_0$	ضریب دمای مقاومت حسگر در دما $0^{\circ}\text{C}$
$Re$	عدد رینولدز جریان سیال بر مبنای قطر حسگر
$I$	جریان الکتریکی گذرنده از حسگر
$k$	ضریب هدایت هوا
$U$	سرعت جریان سیال
$Pr$	عدد پرانتل جریان سیال
$\rho$	چگالی سیال
$h$	ضریب همرفت هوا
$A, B$	ثابت‌های رابطه کالیبراسیون
$OH$	نسبت فراگرمایی
$A_S$	مساحت جانبی حسگر
$l$	طول حسگر
$d$	قطر حسگر
$E_0$	ولتاژ بالای پل و تستون در سرعت صفر
$E_r$	ولتاژ بالای پل و تستون در دما $r$
$E$	ولتاژ بالای پل و تستون
$R_0$	مقاومت الکتریکی حسگر در دما $0^{\circ}\text{C}$
$R_a$	مقاومت سرد حسگر
$R_{20}$	مقاومت سرد حسگر در دما $20^{\circ}\text{C}$
$R_w$	مقاومت گرم حسگر در دما $w$
$Q$	نرخ انتقال حرارت همرفتی از حسگر
$\mu$	ویسکوزیته دینامیکی سیال

اندازه‌گیری نوسانات سرعت و از مدار CCA فقط برای اندازه‌گیری نوسانات دما در جریان‌ها استفاده می‌شود [۱]. در حالت کلی برای اندازه‌گیری سرعت جریان معمولاً از حسگرهای سیم داغ و فیلم داغ استفاده می‌شود. حسگر سیم داغ یک سیم نازک با قطری حدود  $5\mu\text{m}$  و از جنس تنگستن، پلاتین یا الیازهای پلاتین است. حسگر فیلم داغ دارای قطری حدود  $125\mu\text{m}$  است که از یک زیر لایه کوارتز تشکیل شده و بروی آن لایهای نازک از جنس نیکل با ضخامت  $0.1\mu\text{m}$  نشانده شده است. حساسیت و پاسخ فرکانسی حسگر فیلم داغ از سیم داغ کمتر است اما فیلم داغ استحکام بیشتری دارد و بیشتر برای اندازه‌گیری در سیالات مایع استفاده می‌شود [۲].

اندازه‌گیری با مدار CTA بر انتقال حرارت همرفتی<sup>۱</sup> انجام شده بین حسگر سیم داغ و سیال عبوری از روی آن استوار است. به طوری که نرخ این تبادل حرارت به اختلاف دمای حسگر و سیال، شرایط جریان سیال و خواص فیزیکی سیال و حسگرها بستگی دارد. شکل (۱) شماتیکی از یک مدار CTA را نشان می‌دهد. در این مدار حسگر اندازه‌گیر که دارای مقاومت الکتریکی  $R_w$

### ۱- مقدمه

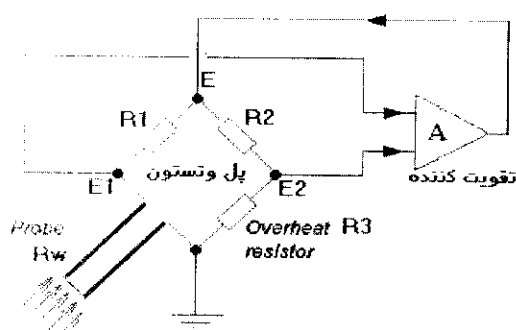
برای شناخت رفتار جریان‌های پیچیده در موضوع دینامیک سیالات و شناخت قوانین حاکم بر آنها همواره اندازه‌گیری‌های تجربی از اولویت خاصی برخوردار بوده است. جریان‌های توربولانسی یا در حال انتقال، از حالت لایه‌ای به درهم، عموماً با نوسانات سرعتی با مقیاس‌های بسیار کوچک و فرکانس‌های نسبتاً بالا همراه هستند. چنانچه اندازه‌گیری و مطالعه تجربی این جریان‌ها یا سایر جریان‌های پیچیده و حساس مدنظر باشد دستگاه بادسنج سیم داغ یکی از مناسب‌ترین ابزارها برای این اندازه‌گیری‌ها است. ویژگی اصلی این دستگاه دقت بسیار بالای آن و پاسخ فرکانسی سریع آن (حدود  $30\text{ kHz}$ ) به مؤلفه‌های نوسانی سرعت است. این ویژگی در زمینه‌های تحقیقاتی دینامیک سیالات یا کاربردهای صنعتی از اهمیت فراوانی برخوردار است.

دستگاه بادسنج سیم داغ در دو حالت کاری، یکی ثابت نگه داشتن دما،  $CTA^1$ ، و دیگری ثابت نگهداشتن جریان،  $CCA^2$ ، در حسگر اندازه‌گیر استوار است (شکل ۱). امروزه به دلایل مختلفی از مدار CTA بیشتر برای

## Archive of SID

همین منظور در بخشی از این مقاله، اثر تغییر دمای محیط و نحوه تصحیح ولتاژ برای حسگرهای سیم داغ و فیلم داغ به صورت تجربی مطالعه شده است.

حسگر دستگاه‌های HWA پرتاپل صنعتی معمولاً برای بار اول در شرکت سازنده کالیبره می‌شوند و به منظور ثابت نگهداشتن دقต دستگاه در شرایط کاری گوناگون، پارامترهای اصلاح کننده‌ای به آن اعمال می‌شود و در اختیار مصرف کننده قرار می‌گیرد. یکی از موارد تأثیر گذار بر خطای اندازه‌گیری این دستگاه‌ها، نغییر خواص فیزیکی حسگر به علی همچون رسوب الودگی‌های سیال بر سطح حسگر است. در این موارد معمولاً حسگر سیال بر جایگزین حسگر معیوب می‌شود و این در حالی است که معادله کالیبراسیون موجود در حافظه دستگاه بر مبنای اطلاعات حسگر اولیه است. در بخش دیگر این مقاله امکان تعویض حسگر معیوب با یک حسگر هم نوع خود و نیز تعویض حسگر سیم داغ با حسگر فیلم داغ، بدون نیاز به تغییر در منحنی کالیبراسیون دستگاه پرتاپل HWA، به صورت تجربی بررسی تجربی شده است. به عبارتی دیگر تأثیر تغییر دمای حسکر (نسبت فراگرمایی) بر منحنی مشخصه و منحنی کالیبراسیون چندین حسگر سیم داغ و فیلم داغ با شرایط مختلف آزمایش می‌شود و نتیجه‌گیری‌های لازم برای ثابت نگهداشتن دقت دستگاه‌های اندازه‌گیر صنعتی در شرایط گوناگون، ارائه شده است.



شکل ۱- شماتیک یک مدار CTA

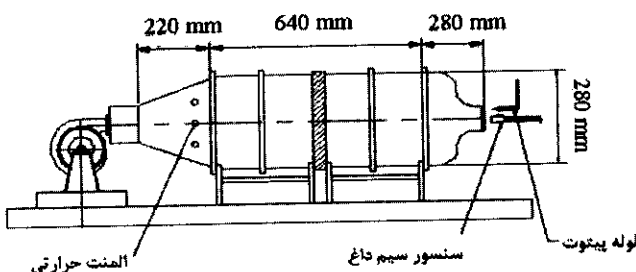
است به عنوان یکی از چهار مقاومت الکتریکی پل و تستون عمل می‌کند. با تغییر سرعت جریان سیال، دمای حسگر و در نتیجه مقاومت الکتریکی آن نیز که تابع دمای سیم است تغییر می‌کند (شکل ۲). در این حالت مدار بر مبنای تغییر ولتاژ ایجاد شده بین E1 و E2 و استفاده از تقویت کننده‌ای با بهره A سعی می‌کند تا با تامین ولتاژ متناسب E در بالای پل، جریان عبوری از حسگر به گونه‌ای تنظیم کند که همواره پل را در حالت توازن قرار دهد و یا اصطلاحاً دمای حسگر و  $R_w$  را ثابت نگه دارد. مدار پردازشگر دستگاه از میزان تغییر ولتاژ ایجاد شده و منحنی مشخصه حسگر، سرعت جریان عبوری از روی حسگر را محاسبه می‌کند [۳].

قبل از هر آزمایش معمولاً منحنی کالیبراسیون حسگرهای آزمایش (ولتاژ- سرعت) با فرض ثابت بودن سایر پارامترهای مؤثر نظیر دمای سیال عبوری  $T_a$  و دمای حسگر  $T_w$  به دست می‌آید. از آنجا که رابطه انتقال حرارت هم‌رفته بین حسگر و محیط به صورت،  $q=h.A.(T_w - T_a)$ ، است و مقدار  $(T_w - T_a)$  در فرآیند کالیبراسیون برابر عدد ثابتی است لذا در منحنی کالیبراسیون، تغییر ولتاژ E مستقیماً به تغییرات ضربی هم‌رفته  $h$  و سرعت  $U$  وابسته می‌شود [۴]. حال چنانچه حین یک آزمایش دمای هوای تونل نسبت به شرایط کالیبراسیون تغییر کند میزان انتقال حرارت  $q$  از سیم داغ نیز تغییر خواهد کرد. در این شرایط ولتاژ خروجی دستگاه، E، از منحنی کالیبراسیون تبعیت نخواهد کرد و سبب بروز خطا در اندازه‌گیری سرعت می‌شود. در این موارد لازم است به صورت نرم افزاری ولتاژ E خوانده شده از مدار CTA نیز تصحیح شود تا به توان از معادله کالیبراسیون قبلی برای محاسبه سرعت استفاده کرد [۵]. تحقیقات مختلف نشان می‌دهد که با افزایش دمای محیط و بدون انجام تصحیح اثر دما، سرعت اندازه‌گیری شده توسط دستگاه کاهش قابل توجهی نسبت به حالت واقعی دارد به طوری که به ازای هر درجه افزایش دما در اندازه‌گیری جریان هوا، میزان خطای سرعت اندازه‌گیری شده توسط دستگاه حدود ۱۲ درصد و در جریان آب به میزان ۱۲٪ است [۶]. به

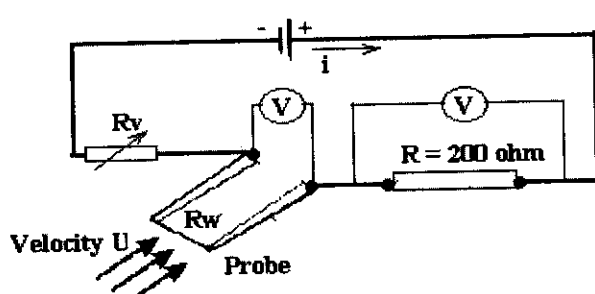
جريان های توپل نیز با استفاده از یک لوله پیتوت اندازه گیری می شود و فشار دینامیکی لوله پیتوت به کمک یک ترانسdiyosr به ولتاژ الکتریکی تبدیل می شود. ولتاژ خروجی از مدار CTA، فشارسنج و دماسنج از طریق کارت A/D با رزولوشن ۱۲ بیت و فرکانس ۲۰۰ kHz به کامپیوتر منتقل و توسط نرم افزار تهیه شده، داده ها تجزیه و تحلیل می شوند.

جدول ۱- مشخصات حسگرهای تست شونده.

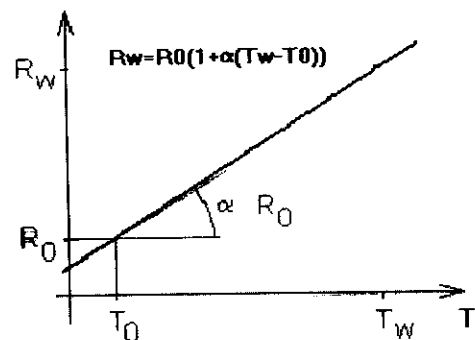
نام	نوع سنسور	جنس	R (Ω)	$\alpha_{20}$ (1/°C)	OH	T <sub>w</sub> (°C)
HF1	فیلم داغ	نیکل	3.3	0.004456	1.4	115
					1.6	160
HF2	فیلم داغ	نیکل	4.5	0.003952	1.4	127
					1.6	177
HF3	فیلم داغ	نیکل	5.5	0.003476	1.4	140
					1.6	198
HW1	تیتان	سیم داغ	3.5	0.0036	1.4	136
					1.6	191
HW2	تیتان	سیم داغ	6.0	0.0036	1.4	136
					1.6	191



شکل ۲- تونل باد تحقیقاتی و محل قرارگیری لوله پیتوت و حسگر دستگاه HWA.



شکل ۴- شماتیک مدار اندازه گیر منحنی مشخصه.



شکل ۲- تغییر مقاومت الکتریکی حسگر بر حسب دما.

## ۲- روش و تجهیزات آزمایش

همه آزمایش های این تحقیق در آزمایشگاه توپل باد مجتمع تحقیقاتی عصر انقلاب وابسته به سازمان پژوهش های علمی و صنعتی ایران انجام گرفته است. برای انجام این آزمایش ها از یک توپل باد مدار باز تحقیقاتی استفاده شده است (شکل ۳). به منظور تعیین منحنی مشخصه حسگر پرور های تست شونده که اطلاعات آنها در جدول ۱ آمده است از مداری الکترونیکی که شماتیک آن در شکل (۴) آمده، استفاده شده است. در این مدار با عبور جریان هوا با سرعتی مشخص از روی حسگر پرور و اندازه گیری ولتاژ دو سر مقاومت مشخص R، مقدار جریان عبوری از مدار، آن محاسبه می شود. با اندازه گیری ولتاژ دو سر پرور و معین بودن مقدار آن، مقدار مقاومت حسگر پرور، R\_w، محاسبه می شود و دمای حسگر T\_w از رابطه شکل ۲ به دست می آید. حال با ثابت نگهداشتن سرعت جریان هوا، به کمک مقاومت متغیر R\_v مقدار جریان مدار را تغییر داده و مقاومت پرور (دمای حسگر) به ازای مقادیر مختلف جریان اندازه گیری می شود که به آن معنی مشخصه (شکل ۵) حسگر گویند. با استفاده از یک دستگاه کنترل دور، دور فن و در نتیجه سرعت جریان در توپل کنترل می شود. در داخل توپل باد از چهار سری توری و شبکه ای لانه زنبوری برای یکنواخت کردن جریان سیال استفاده شده است. به منظور بررسی اثر تغییرات دمای جریان سیال بر اندازه گیری سرعت، تعدادی المnt حرارتی در بالادست شبکه لانه زنبوری و داخل محفظه دیفیوزر تعییه شده است که به کمک یک کنترلر تنظیم می شوند. برای به دست آوردن منحنی کالیبراسیون حسگر ها، همزمان با اندازه گیری ولتاژ دو سر حسگر، سرعت

و خواص سیال نظری ویسکوزیته  $\mu$ ، دانسیته  $\rho$ ، عدد پرانتل  $Pr$ ، ضریب هدایت حرارتی  $k$ ، در دمای  $T_f = \frac{(T_w + T_a)}{2}$ ، محاسبه می‌شوند. همچنین در روابط فوق  $\alpha_0, R_0$  به ترتیب مقاومت سیم و ضریب انبساط حرارتی آن در دمای مبنا هستند. لیکن علاوه بر طول حسگر سیم داغ محدود می‌شود و قسمتی از حرارت به صورت هدایتی به پایه‌های نگهدارنده حسگر منتقل می‌شود. لذا در عمل معادله کالیبراسیون به صورت:

$$\frac{E_w^2}{R_w} = (A + BU^n)(T_w - T_a), \quad (2)$$

بيان می‌شود که  $A$  و  $B$  ثابت‌های کالیبراسیون است و در فرایند کالیبراسیون به دست می‌آیند. برای درنظر گرفتن اثرات تغییر دما، مایله و اندرسون [۷]، معادله کالیبراسیون را به صورت رابطه زیر پیشنهاد کردند:

$$U = B_0 + B_1 \left[ \frac{E}{\Delta T} \right]^2 + B_2 \left[ \frac{E}{\Delta T} \right]^3 + B_3 \left[ \frac{E}{\Delta T} \right]^4, \quad (3)$$

که در آن،  $\Delta T = T_w - T_a$  و ضرایب  $B_n$  از کالیبراسیون به دست می‌آیند. همچنین کوبیس و ترینس [۸]، برای درنظر گرفتن اثرات دما، از رابطه زیر استفاده کردند:

$$\frac{E_w^2}{R_w (R_w - R_{20})} = A + BU^n, \quad (4)$$

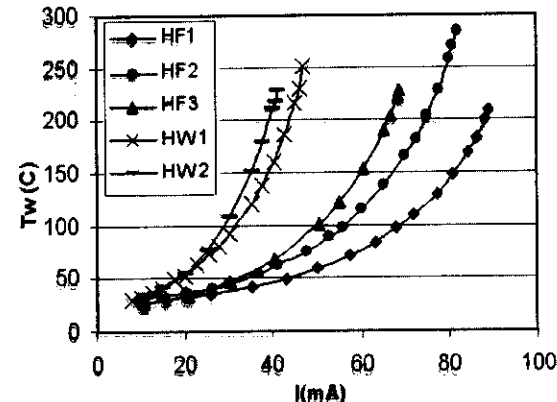
که در آن،  $R_w$  مقاومت حسگر در دمای  $T_w$ ،  $R_{20}$  مقاومت سرد حسگر (در دمای  $20^\circ C$ ) و  $E_w$  ولتاژ دو سر حسگر است. در صورت خطی بودن تغییرات مقاومت الکتریکی با دمای حسگر رابطه (۴) به صورت زیر درمی‌آید:

$$\frac{E_w^2}{R_w (T_w - T_{20})} = A + BU^n. \quad (5)$$

از رابطه (۵) می‌توان دریافت که با تغییر دمای تونل از شرایط مرجع،  $T_r$  (شرایط کالیبراسیون) به مقدار متفاوت دیگری نظیر  $T_f$ ، ولتاژ سیم نیز از  $E_r$  به  $E_w$  تغییر خواهد کرد. چنانچه سرعت جریان تونل ثابت باشد، این تغییر ولتاژ از رابطه زیر تعییت خواهد کرد:

$$E_r = E_w \left[ \frac{T_w - T_r}{T_w - T_a} \right]^{0.5}, \quad (6)$$

که  $\left[ \frac{T_w - T_r}{T_w - T_a} \right]^{0.5}$  را ضریب تصحیح ولتاژ می‌نامند [۶].



شکل ۵- منحنی تغییرات  $T_w$  بر حسب جریان الکتریکی.

### ۳- روش‌های تصویح اثر تغییر دمای تونل بر اندازه‌گیری با دستگاه HWA

همان‌طور که در مقدمه بیان شد چنانچه هنگام اندازه‌گیری، دمای تونل نسبت به شرایط کالیبراسیون تغییر کند و لتاژ بالای پل و تستون نیز در مدار CTA تغییر می‌کند و باعث بروز خطا در اندازه‌گیری سرعت خواهد شد. برای رفع این مشکل معمولاً به ضرایب تصحیح کننده‌ای نیاز است تا با اعمال این ضریب در ولتاژ اندازه‌گیری شده، بتوان سرعت واقعی جریان را از منحنی کالیبراسیون استخراج کرده. برای تصحیح اثرات تغییر دما بر دستگاه HWA، محققان مختلفی همچون مایله<sup>۱</sup> و اندرسون<sup>۲</sup> در [۶] و کوبیس<sup>۳</sup> و ترینس<sup>۴</sup> در [۸] رهیافت‌های گوناگونی را ارائه کرده‌اند. برای تشریح این موضوع، معادله انتقال حرارت از یک سیم گرم با طول بی‌نهایت و قطر  $d$  که با جریان الکتریکی  $I$  گرم می‌شود را درنظر بگیرید. این معادله به صورت رابطه زیر بیان می‌شود [۹]:

$$q = hA_s(T_w - T_a) = (A + BU^{0.5}) \times (R_w - R_a), \quad (1)$$

$$\frac{I^2 R_w}{R_w - R_{20}} = A + BU^{0.5},$$

که در آن،

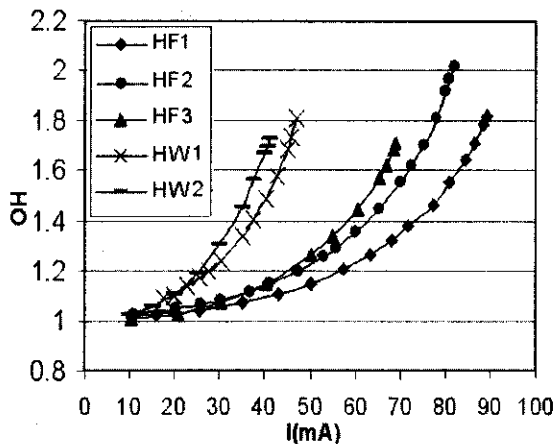
$$A = 0.42 \frac{\pi k l}{\alpha_0 R_0} Pr^{0.20},$$

$$B = 0.57 \frac{\pi k l}{\alpha_0 R_0} Pr^{0.33} \left[ \frac{\rho d}{\mu} \right]^{0.50},$$

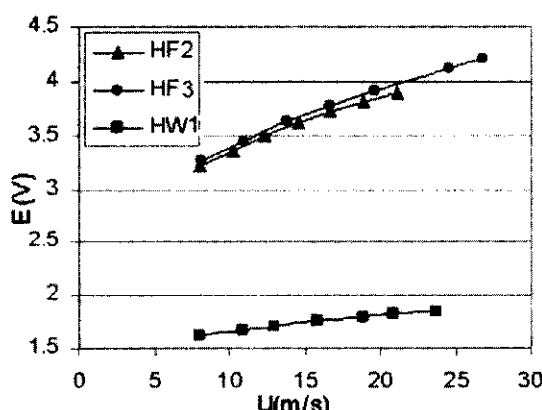
- 1- Mayle
- 2- Anderson
- 3- Koppius
- 4- Trines

مقدار  $E_{corr}$  در رابطه کالیبراسیون (۱۰) قرار داده شده و مقدار سرعت واقعی جریان محاسبه می‌شود [۶].

۴- تأثیر تغییر دمای تونل بر اندازه‌گیری سرعت آزمایش‌های این بخش از تحقیق روی حسگرهای فیلم داغ HF1 و HF2، HF3 و حسگر سیم داغ HW1 (جدول ۱) انجام شده است. قبل از انجام هر آزمایشی، باید مقدار دقیق نسبت فراگرمایی ( $\frac{R_w}{R_a} OH$ ) و دمای حسگر  $T_w$  تعیین شوند. بدین منظور ابتدا منحنی مشخصه شکل‌های (۵ و ۶) و سپس منحنی کالیبراسیون برای حسگرهای مورد آزمایش به دست آورده شده‌اند (شکل ۷).



شکل ۶- منحنی تغییرات  $OH$  بر حسب جریان الکتریکی.



شکل ۷- منحنی کالیبراسیون حسگرها.

توجه به این نکته ضروری است که در رهیافت‌های پیشنهادی فوق، اثر تغییر دما تنها بر روی ولتاژ خروجی اعمال شده است. در حالی که رابطه (۱) نشان می‌دهد که ضرایب ثابت A و B به خواص سیال بستگی دارند، لذا تغییر دمای تونل بر مقدار این ضرایب نیز تأثیرگذار خواهد بود که در رهیافت‌های فوق لحاظ نشده‌اند. به منظور رفع این نقصه در این مقاله از معادله انتقال حرارت "کولیس و ویلیامز" [۱] به عنوان معادله انتقال حرارت پایه‌ای استفاده شده است. در معادله انتقال حرارت فوق علاوه بر تأثیر دمای  $\left[ \frac{T_F}{T_a} \right]^{-0.17}$  بر خواص سیال، از یک ضریب بارگذاری دمایی نیز استفاده می‌شود، یعنی:

$$Nu \left[ \frac{T_F}{T_a} \right]^{-0.17} = A + B Re^n. \quad (7)$$

با درنظر گرفتن رابطه کرامز [۱] برای عدد ناسلت داریم:

$$Nu = 0.4 Pr_a^{0.20} + 0.57 Pr_a^{0.33} Re^{0.5}, \quad (8)$$

$$0.01 < Re < 10.000,$$

$$0.71 < Pr < 1000,$$

که در بازه ذکر شده معتبر است و اعمال آن به رابطه (۷) و درنظر گرفتن رابطه  $Q = I^2 R_w$  برای گرمای تولید شده در سیم، معادله پاسخ حسگر به صورت زیر در می‌آید:

$$E^2 = (T_w - T_a) k_r \left[ a Pr_a^{0.2} + b Pr_a^{0.33} \left( \frac{\rho_a}{k_a} \right)^n U^n \right]. \quad (9)$$

در روابط فوق اندیس ۲ نشان دهنده مقدار خاصیت در دمای  $T_F$  و اندیس a نشان دهنده مقدار خاصیت

$$T_F = \frac{(T_w + T_a)}{2} \quad (10)$$

در  $E = \frac{(T_w + T_a)}{2}$  است. همچنین ضرایب a و b به

مشخصه‌های حسگر بستگی دارند. به منظور افزایش دقت منحنی کالیبراسیون، در اندازه‌گیری‌های تجربی، معمولاً از یک منحنی چندجمله‌ای استفاده می‌شود، یعنی:

$$U = C_0 + C_1 E + C_2 E^2 + C_3 E^3 + C_4 E^4, \quad (11)$$

که در آن ضرایب کالیبراسیون  $C_n$  ثابت هستند. در این

رهیافت اثر دما بر ولتاژ بالای پل و تستون E به صورت رابطه زیر تصحیح می‌شود:

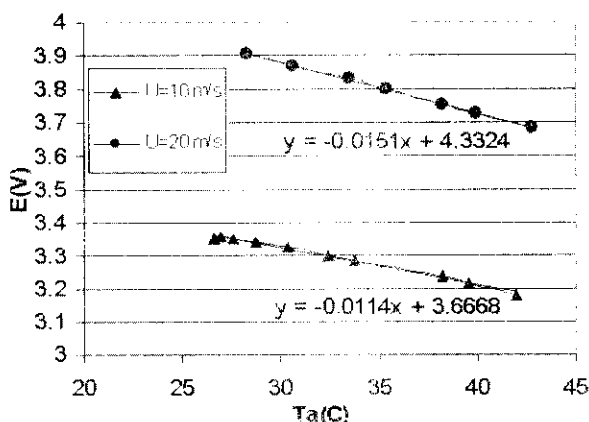
$$E_{corr} = E \left[ \frac{T_w - T_F}{T_w - T_a} \right]^{0.5(1 \pm m)}, \quad (12)$$

که در آن  $m = \left[ \frac{T_F}{T_a} \right]^{0.17}$  می‌باشد. علامت + برای حالت

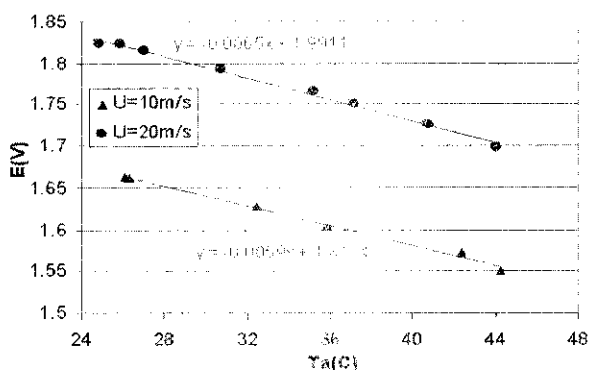
WATSID.ir علامت (-) برای  $T_a < T_F$  است. بعد از تصحیح،

بر مبنای رابطه فوق، در شکل (۱۰) مقدار  $n$  برای حسگر HF3 ترسیم شده که در سرعت‌های  $U = 10 \text{ m/s}$  و  $U = 20 \text{ m/s}$  به ترتیب برابر  $n = 0.374$  و  $n = 0.428$  می‌باشد. همین نتایج برای حسگر HW1 در شکل (۱۱) ترسیم شده است که برای این حسگر نیز مقدار  $n$  در سرعت‌های  $U = 10 \text{ m/s}$  و  $U = 20 \text{ m/s}$  به ترتیب برابر  $n = 0.59$  و  $n = 0.505$  می‌باشد.

با معلوم شدن مقدار  $n$  می‌توان مقدار واقعی ولتاژ تصحیح شده را از رابطه (۱۲) استخراج کرد و به کمک منحنی کالیبراسیون حسگر، سرعت واقعی جریان را به دست آورد.



شکل ۸- تغییر ولتاژ حسگر  $\text{HF}3$  در  $\text{OH}=1.4$  برای دو سرعت مختلف.



شکل ۹- تغییر ولتاژ حسگر  $\text{HW}1$  در  $\text{OH}=1.6$  برای دو سرعت مختلف.

باید تأکید شود که منظور از آزمایش‌های این بخش از تحقیق بررسی اثر تغییر دمای محیط و نحوه تصحیح ولتاژ برای اندازه‌گیری عملی با حسگرهای سیم داغ و فیلم داغ است.

#### ۴-۱- اثر تغییر دمای تونل در یک نسبت فراگرمایی و دو سرعت متفاوت

در شکل (۸) نحوه کاهش ولتاژ بالای پل و تستون (نسبت به شرایط کالیبراسیون) بر حسب تغییر دمای هوای تونل باد، برای فیلم داغ  $\text{HF}3$ ، در نسبت فراگرمایی  $1/4$  و دو سرعت  $U = 10 \text{ m/s}$ ،  $U = 20 \text{ m/s}$  ترسیم شده است. همین منحنی برای حسگر سیم داغ  $\text{OH}=1/6$  در  $\text{HW}1$  و سرعت‌های فوق در شکل (۹) آورده شده است. مشاهده می‌شود که برای هر دو نوع حسگر، نرخ کاهش ولتاژ با افزایش سرعت جریان افزایش می‌یابد. به عبارت دیگر با افزایش سرعت سیال، شیب خط کاهش ولتاژ  $E$  نیز زیاد می‌شود. علت این امر را می‌توان در کاهش مقدار  $T_w$  و حساس‌تر شدن حسگرهای سیم داشت که در این مقدار  $T_w$  می‌تواند در نتیجه  $\Delta E$  خروجی از پل نیز افزایش خواهد یافت. نتیجه این امر، کاهش  $R_w$  و در نتیجه  $T_w$  است [۹]. همچنین از مقایسه نتایج شکل‌های (۸) و (۹) می‌توان دریافت که نرخ کاهش ولتاژ برای حسگر سیم داغ  $\text{HW}1$  کمتر از حسگر فیلم داغ  $\text{HF}3$  است.

بر مبنای رهیافت ارائه شده در قسمت ۳ (رابطه ۱۱)، به منظور تصحیح ولتاژ در این آزمایش از رابطه زیر استفاده می‌شود:

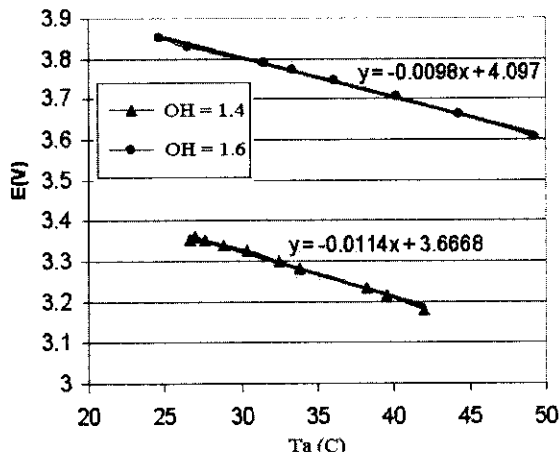
$$E_r = E \cdot \left[ \frac{T_w - T_r}{T_w - T_a} \right]^n. \quad (12)$$

با اعمال لگاریتم به رابطه (۱۲) می‌توان در یافت که شیب خط لگاریتمی  $\frac{E_r}{E}$  بر حسب لگاریتم  $\frac{T_w - T_r}{T_w - T_a}$  برابر مقدار توان ضربی تصحیح  $n$  خواهد بود، یعنی:

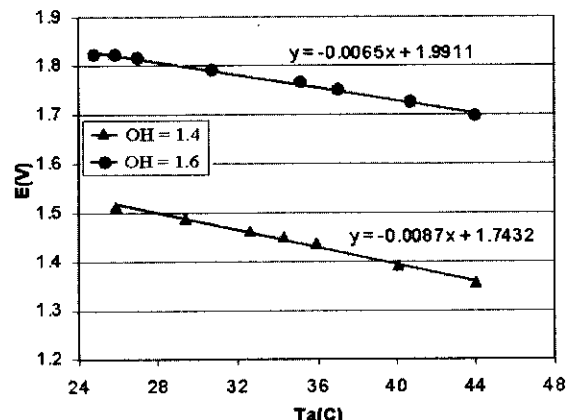
$$\ln\left(\frac{E_r}{E}\right) = n \cdot \ln\left(\frac{T_w - T_r}{T_w - T_a}\right). \quad (13)$$

## Archive of SID

اینجا نیز شیب کاهش ولتاژ برای  $\text{OH} = 1/4$  بیشتر از  $\text{OH} = 1/6$  است. از مقایسه منحنی‌های شکل‌های (۱۲) و (۱۳) می‌توان دریافت که با افزایش سرعت و یا کاهش نسبت فراگرمایی، شیب کاهش ولتاژ بیشتر می‌گردد.

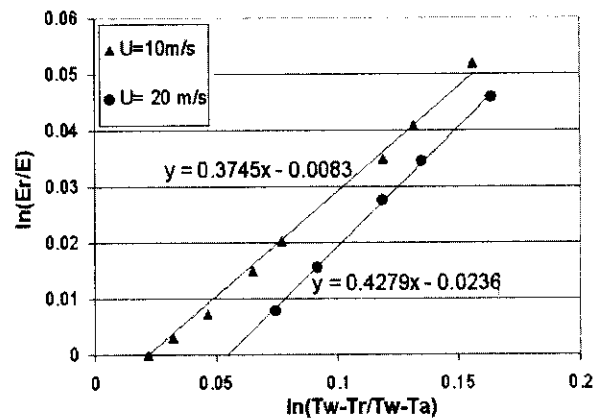


شکل ۱۲ - روند کاهش ولتاژ برای حسگر HF3 در  $\text{U}=10\text{m/s}$  برای دو نسبت فراگرمایی مختلف.

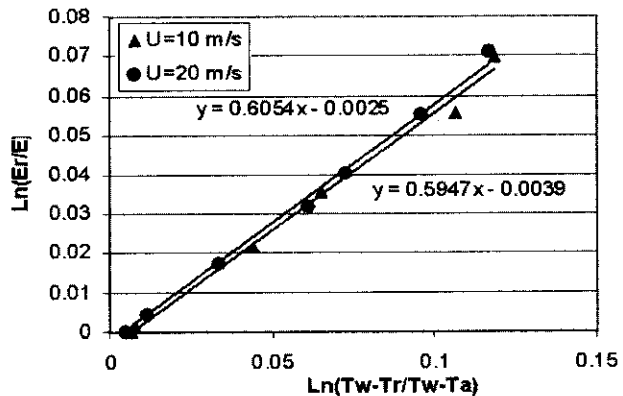


شکل ۱۳ - روند کاهش ولتاژ برای حسگر HW1 در  $\text{U}=20\text{ m/s}$  برای دو نسبت فراگرمایی مختلف.

۵- اثر دمای حسگرهای بر منحنی مشخصه و عملکرد آنها به منظور بررسی اثر دمای حسگر و یا نسبت فراگرمایی بر عملکرد و مشخصه حسگرهای ابتدا منحنی مشخصه حسگرهای جدول (۱) به دست آمد. این منحنی‌ها در شکل‌های (۵) و (۶) ترسیم شده‌اند. در این بخش از تحقیق ابتدا عملکرد یک حسگر در دماهای کاری متفاوت بررسی شده و سپس عملکرد



شکل ۱۰ - مقدار توان  $n$  برای حسگر HF3 در  $\text{OH} = 1.4$  برای دو سرعت مختلف.



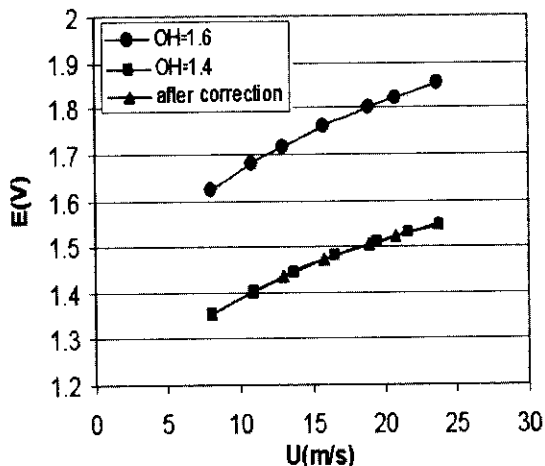
شکل ۱۱ - مقدار توان  $n$  برای حسگر HW1 در  $\text{OH} = 1.6$  برای دو سرعت مختلف.

### ۴-۲-۴ اثر تغییر دمای تونل در یک سرعت ثابت و دو نسبت فراگرمایی مختلف

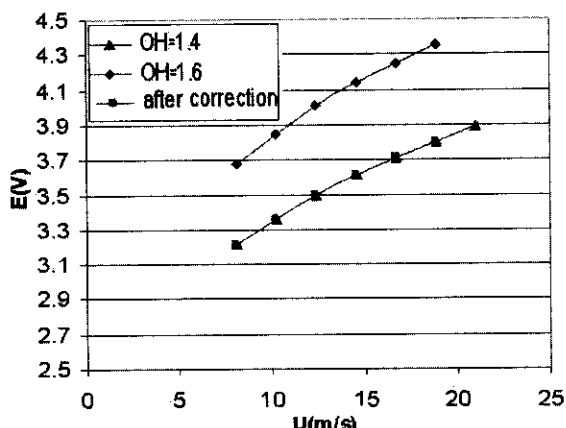
در شکل (۱۲) منحنی‌های کاهش ولتاژ  $E$  بر حسب دمای تونل  $T_a$  برای حسگر فیلم داغ  $\text{HF3}$  در سرعت  $10\text{ m/s}$  و  $\text{OH} = 1/6$  و  $\text{OH} = 1/4$  ترسیم شده است. مشاهده می‌شود با کاهش مقدار نسبت  $\text{OH}$  ولتاژ بالای پل  $E$  با شبیه تندتری کاهش می‌یابد به طوری که برای  $\text{OH} = 1/6$  نرخ کاهش برابر  $118/100$  و برای  $\text{OH} = 1/4$  این کاهش برابر با نرخ منفی  $151/100$  است. علت این است که با کم شدن نسبت  $\text{OH}$  در واقع  $T_w$  کاهش می‌یابد و در نتیجه اختلاف  $T_w-T_a$  نیز کم می‌شود. همین اختلاف سبب حساس‌تر شدن حسگر به تغییرات  $T_a$  می‌شود و در نتیجه ولتاژ با نرخ بیشتری شروع به کاهش می‌کند. همچنین شکل (۱۳) روند کاهش ولتاژ برای حسگر HW1 در  $\text{U} = 20\text{ m/s}$  نشان می‌دهد. همانند حسگر فیلم داغ، در

است. نتایج حاصله رفتاری مشابه آزمایش‌های مربوط به سیم داغ دارند.

۲-۵- مقایسه عملکرد دو حسگر همنوع در یک نسبت فراگرمایی ثابت در این قسمت به بررسی منحنی کالیبراسیون و مشخصه دو حسگر همنوع، در نسبت فراگرمایی یکسان می‌پردازیم.



شکل ۱۴ - منحنی کالیبراسیون HW1 در دو نسبت فراگرمایی و انطباق آنها پس از اعمال ضریب تصحیح.



شکل ۱۵ - منحنی کالیبراسیون HF1 در دو نسبت فراگرمایی و انطباق آنها پس از اعمال ضریب تصحیح.

ابتدا منحنی کالیبراسیون برای دو حسگر سیم داغ HW1 و HW2 به دست آورده شده است (شکل ۱۶). از مقایسه دو منحنی نتیجه می‌شود که ضرایب A, B برای HW2 بزرگ‌تر از HW1 هستند. چنانچه سرعت جریان تونل صفر  $U=0$  باشد میزان ولتاژ نیز طبق رابطه کالیبراسیون برابر

دو حسگر همنوع و دو حسگر غیرهمنوع در یک نسبت فراگرمایی ثابت با هم مقایسه می‌شوند.

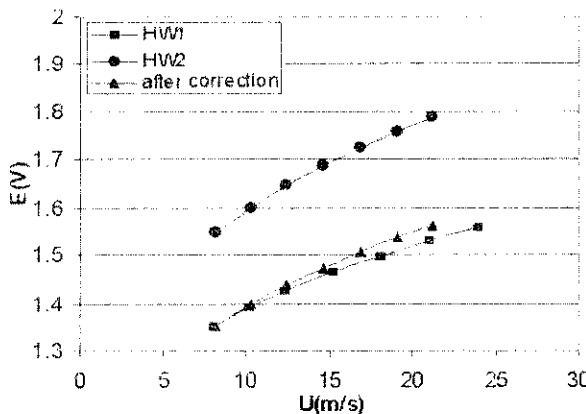
آزمایش‌های این بخش به منظور بررسی امکان تعویض حسگر معیوب با یک حسگر هم نوع خود و نیز تعویض حسگر سیم داغ با حسگر فیلم داغ، بدون نیاز به تغییر در منحنی کالیبراسیون در دستگاه‌های پرتابل HWA انجام شده است.

۱-۵- عملکرد یک حسگر در دو دمای کاری (نسبت فراگرمایی) متفاوت

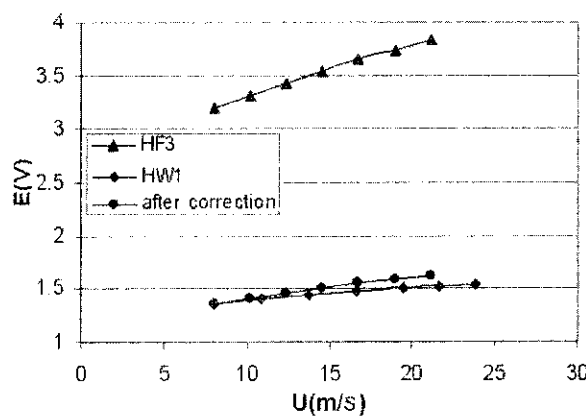
در این آزمایش از پرتاب HW1 استفاده شده است. منحنی کالیبراسیون پرتاب سیم داغ HW1 در دونسبت فراگرمایی  $\text{OH}=1/4$  و  $\text{OH}=1/6$  در شکل (۱۴) ترسیم شده است. مشاهده می‌شود که دو منحنی تفاوت زیادی با یکدیگر دارند. از آنجا که میزان این اختلاف تابعی از سرعت جریان است لذا برای انطباق دو منحنی فوق نمی‌توان یکی از آنها را به میزان معینی جابه‌جا کرد. علت تغییرات فوق متفاوت بودن ضرایب A و B در نسبت‌های فراگرمایی مختلف است. زیرا A و B تابعی از خواص سیال یعنی  $\mu$  و  $k$  هستند و این خواص در دمای  $T_p = \frac{(T_w + T_a)}{2}$  محاسبه می‌شوند.

از منحنی مشخصه حسگر سیم داغ می‌توان مقدار دمای حسگر  $T_w$  را تعیین کرد. با فرض ثابت بودن دمای تونل، مقدار  $\Delta T = T_w - T_a$  قابل محاسبه خواهد بود. حال با استفاده از رابطه انتقال حرارت  $Q = h.A.\Delta T$  و رابطه (۱۲) می‌توان دریافت که ضریب اصلاح برای تطابق دو منحنی کالیبراسیون به صورت " خواهد بود [۱۱].

با اعمال این نسبت به منحنی کالیبراسیون مربوط به  $\text{OH}=1/6$ ، دو منحنی برهم منطبق می‌شوند. بنابراین می‌توان نتیجه گرفت که برای یک پرتاب مشخص چنانچه نسبت OH آن عوض شود، فقط با داشتن مقدار  $E_0$  ها در دو نسبت فراگرمایی متفاوت، منحنی کالیبراسیون مربوط به هر نسبت فراگرمایی OH جدید را می‌توان به دست آورد. به منظور اطمینان بیشتر همین آزمایش برای حسگر فیلم داغ HF1 نیز تکرار شد که نتایج آن در شکل (۱۵) ترسیم شده



شکل ۱۶ - منحنی کالیبراسیون HW1 و HW2 در  $\text{OH}=1.4$  و عدم انطباق آنها پس از اعمال ضریب تصحیح.



شکل ۱۷ - منحنی کالیبراسیون HF3 و HW1 در  $\text{OH}=1.4$  و عدم انطباق آنها پس از اعمال ضریب تصحیح.

#### ۶- نتیجه گیری ها

از آزمایش های انجام شده به منظور بررسی اثر تغییر دمای تونل بر اندازه گیری، به نتایج زیر می توان اشاره کرد، البته نتایج حاصل از این تحقیق در دامنه سرعت های ۲ تا ۳۰ متر بر ثانیه صادق هستند و برای سرعت های کمتر یا بیشتر نیاز به انجام آزمایش های تکمیلی است:

- ۱- افزایش دمای سیال نسبت به شرایط کالیبراسیون سبب کاهش سرعت اندازه گیری شده می شود. این کاهش بستگی به دمای حسگر دارد و معمولاً با اعمال ضریب تصحیح  $\left[ \frac{T_w - T_r}{T_w - T_a} \right]^n$  اصلاح می گردد. لذا اندازه گیری دقیق دمای محیط و دانستن دمای حسگر مهم است.

$E^2/A$  خواهد بود. از طرفی از رابطه (۱) می توان دریافت که مقدار ضرایب  $A$ ،  $B$  و  $C$  متناسب با مقاومت سرد  $R$  هستند. بنابراین با توجه به اینکه مقاومت اولیه حسگر HW2 بزرگ تر است، پس ضرایب کالیبراسیون آن نیز بزرگ تر خواهد بود.

همین امر در مقایسه منحنی کالیبراسیون سه حسگر فیلم داغ HF1, HF2, HF3 نیز مشاهده می شود. لذا می توان نتیجه گرفت که اگر منحنی های مشخصه دو حسگر برروی یکدیگر منطبق شده باشند، آنگاه منحنی کالیبراسیون دو حسگر نیز برهم منطبق خواهد بود.

۳-۵- مقایسه حسگرهای فیلم داغ و سیم داغ در این بخش از تحقیق در مورد انطباق منحنی های کالیبراسیون دو حسگر سیم داغ و فیلم داغ بحث خواهد شد. برای یکسان سازی تفربیی شرایط، از یک حسگر سیم داغ ۱ با مقاومت سرد  $3.5\Omega$  و یک حسگر فیلم داغ ۳ با مقاومت سرد  $3.3\Omega$  استفاده شده است تا مشخصات آنها نزدیک به هم باشند. شکل (۱۷) منحنی کالیبراسیون این دو حسگر را در  $\text{OH}=1/4$  نشان می دهد. منحنی کالیبراسیون فیلم داغ، در یک سرعت ثابت، دارای ولتاژ و گرادیان تغییرات بیشتری نسبت به منحنی کالیبراسیون سیم داغ در همان سرعت است. از رابطه (۱) و پارامترهای موجود در ضرایب  $A$  و  $B$  می توان دریافت که در یک  $\text{OH}$  ثابت،  $T_w$  فیلم داغ معمولاً بالاتر از  $T_w$  مربوط به سیم داغ بوده و همچنین از آنجایی که قطر فیلم داغ بسیار بزرگ تر از سیم داغ  $d_{film}/d_{wire} = 25$  است، لذا مقدار این ضرایب (A) و (B) برای فیلم داغ بیشتر است. با جایه جایی و تطبیق نقطه اول دو منحنی (شکل ۱۷) و اعمال نسبت  $E_{wire}/E_{film}$  مشاهده می شود که اولاً دو منحنی به طور کامل برهم منطبق نمی شوند و ثانیاً با افزایش سرعت جریان اختلاف دو منحنی بیشتر می گردد. این نتایج نشان می دهد که علاوه از منحنی کالیبراسیون حسگر سیم داغ نمی توان برای فیلم داغ استفاده کرد.

4. King, L.V. "On the Convection from Small Cylinders in a Stream of Fluid: Determination of the Convection Constant of Small Platinum Wires with Applications to Hot-Wire Anemometry", Phil. Trans. Roy. Soc. of London, Vol. 214, pp. 373-432, 1914.
5. Bearman, P.W. "Corrections for the Effect of Ambient Temperature Drift on Hotwire Measurements in Incompressible Flow", DISA Information, No. 2, pp. 25-30, 1972.
6. Cimbala, J.M. and Park, W.J. "A Direct Hot-Wire Calibration Technique to Account for Ambient Temperature Drift in Incompressible Flow", Experiments in Fluids, Vol. 8, No. 5, pp. 298-300, 1990.
7. Mayle, R.E. and Anderson, A. "Velocity and Temperature Profile for Stagnation Film Cooling", ASME J. Turbomach., Vol. 113, pp. 457-462, 1991.
8. Koppius A.M. and Trines G.R.M. "The Dependence of Hot-Wire Calibration on Gas Temperature at Low Reynolds Numbers", Int. J. Heat, and Mass Transfer, Vol. 19, pp. 967-974, 1976.
9. Perry A.E. "Hot-Wire Anemometry", Oxford Science Publication, Oxford, pp. 123-186, 1982.
- 10- اردکانی، م.ع. و سالاری، م. و تقیوی زنوز، ر. "تحلیل تجربی عملکرد واقعی دستگاه بادسنج سیم داغ و مقایسه عملکرد پروب های سیم داغ و فیلم داغ در اندازه گیری سرعت جریان ها، سیزدهمین کنفرانس سالانه (بین المللی) مهندسی مکانیک، دانشگاه صنعتی اصفهان، ۱۳۸۴.
- 11- اردکانی، م.ع. و قاسمیان، ح. و خوشنویس، ع. "بررسی تجربی اثرات افزایش دمای سیال بر دقیت دستگاه باد سنج سیم داغ، سیزدهمین کنفرانس سالانه (بین المللی) مهندسی مکانیک، دانشگاه صنعتی اصفهان، ۱۳۸۴.
- 12- اردکانی، م.ع. و اصغری تهرانی، پ. "بررسی تجربی منحنی مشخصه و کالیبراسیون حسگرهای سیم داغ و فیلم داغ دستگاه بادسنج سیم داغ"، سیزدهمین کنفرانس سالانه (بین المللی) مهندسی مکانیک، دانشگاه صنعتی اصفهان، ۱۳۸۴.

۲- با افزایش سرعت جریان، مقدار کاهش در سرعت اندازه گیری شده نیز بیشتر می گردد. میزان این خطابستگی به حسگر و بهره مدار الکترونیکی دارد.

۳- در یک سرعت ثابت، با افزایش نسبت فراگرمایی مقدار خطای اندازه گیری فوق کاهش یافته و توان رابطه اصلاحی ( $N$ ) نیز کم می شود.

۴- برای حسگر سیم داغ در شرایط مختلف کاری، مقدار  $n$  حدود ۰/۶ و برای حسگر فیلم داغ این مقدار بین ۰/۴-۰/۶ تغییر می کند.

از آزمایش های مربوط به بررسی اثر تغییر دمای حسگر یا نسبت فراگرمایی بر اندازه گیری سرعت، مطالب زیر استنتاج می گردد:

۱- به دلیل تفاوت ابعادی، منحنی کالیبراسیون فیلم داغ نسبت به منحنی کالیبراسیون سیم داغ دارای گرادیان و تغییرات بیشتری است و این گرادیان با افزایش سرعت کاهش می یابد.

۲- منحنی کالیبراسیون برای هر حسگر منحصر به فرد بوده و نمی توان آن را برای حسگر دیگری استفاده نمود، هر چند مقدار نسبت فراگرمایی آنها یکسان باشد.

۳- منحنی کالیبراسیون یک نوع حسگر که در دو نسبت فراگرمایی متفاوت قرار دارند را می توان با اعمال ضریب تصحیح، بر یکدیگر منطبق کرد.

۴- برای استفاده از دستگاه های پرتابل، حتما باید از پرتاب خود دستگاه استفاده کرده و نباید آنرا با پرتاب دیگری جایگزین کرده در صورت وجود آلودگی روی حسگر، بهتر است دستگاه فوق در بازه های زمانی معینی کالیبره گردد.

#### مراجع

1. Bruun, H.H. "Hot-Wire Anemometry: Principles and Signal Analysis", Oxford Science Publication, 1995.
2. Jorgensen, F.E. "How to Measure Turbulence with Hot-Wire Anemometry", 9040U6151, Tech. Report, pp. 38-50, 2002.
3. Lomas, C.G. "Fundamentals of Hot Wire Anemometry", Cambridge University Press, 1986.